Méthode des éléments finis Formulation intégrale des problèmes aux limites bidimensionnels

Prof. F. Gallaire

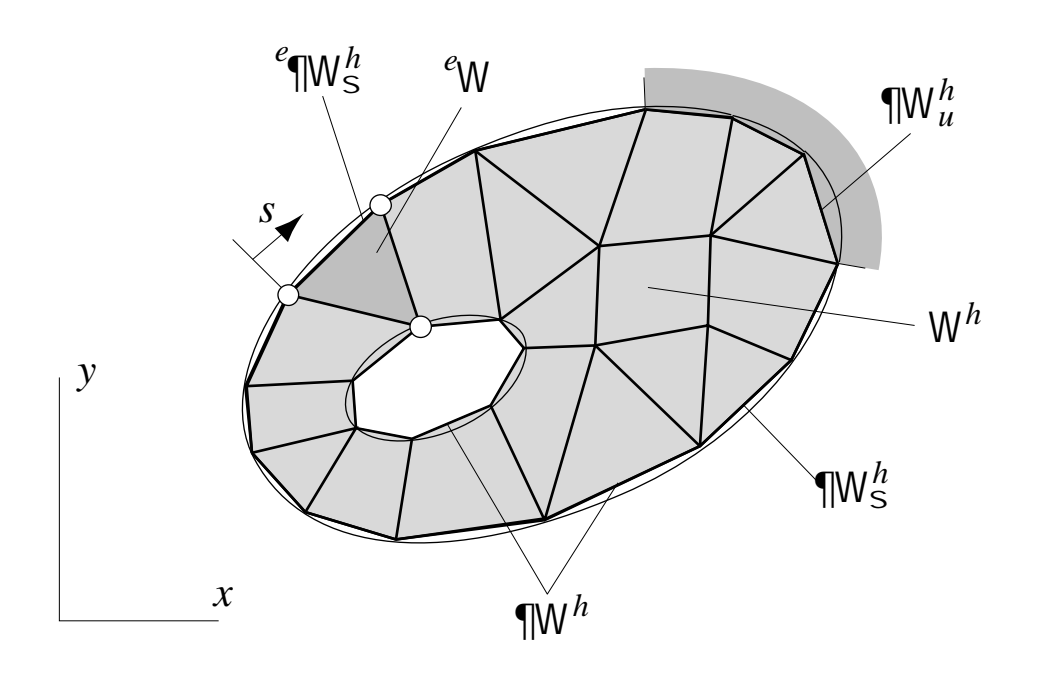
Rappel de la forme faible discrète étudiée

$$\mathbf{K} \mathbf{q} = \mathbf{r} \qquad (q_k = \hat{q}_k, \forall k \mid (x_k, y_k) \in \partial \Omega_u)^h$$

$$\mathbf{K} = \bigwedge_{e=1}^{m} \mathbf{K}$$

$$\mathbf{r} = \bigwedge_{e=1}^{m} \mathbf{r}$$

$$(\Omega^{h} = \bigcup_{e=1}^{m} \Omega)$$



-105-

Rappel des grandeurs structurelles

$${}^{e}\mathbf{K} = \int_{e_{\Omega}} ({}^{e}\kappa^{e}\mathbf{B}^{T}{}^{e}\mathbf{B} + {}^{e}\rho^{e}\mathbf{H}^{T}{}^{e}\mathbf{H}) \, \mathrm{d}x \, \mathrm{d}y$$

$$+ \int_{e_{\partial\Omega}} {}^{e}r^{e}\mathbf{H}^{T}{}^{e}\mathbf{H} \, \mathrm{d}s \quad \text{matrice élémentaire de conductivité}$$

$${}^{e}\mathbf{r} = \int_{e_{\Omega}} {}^{e}\mathbf{H}^{T}{}^{e}q \, \mathrm{d}x \, \mathrm{d}y \quad + \int_{e_{\partial\Omega}} {}^{e}_{\sigma}\mathbf{H}^{T}{}^{e}t \, \mathrm{d}s$$

vecteur élémentaire des sources d'énergie-chaleur

$${}^{e}\mathbf{H} = [{}^{e}h_{1}, {}^{e}h_{2}, ..., {}^{e}h_{ep}]$$
 matrice des fonctions de base ${}^{e}\mathbf{B} = \nabla^{e}\mathbf{H} = [\partial^{e}\mathbf{H}/\partial x, \partial^{e}\mathbf{H}/\partial y]^{T}$ matrice-gradient

-106-

Paramétrisation de la modélisation en éléments finis

$$eT: \mathbf{x} = \sum_{i=1}^{e} h_i(\xi, \eta) e_{\mathbf{x}_i} \qquad \mathbf{x} = \{x, y\}^T$$

$$e_{\mathbf{x}_i} = \{e_{\mathbf{x}_i}, e_{\mathbf{y}_i}\}^T$$
Existence
$$de^e T^{-1}$$

$$y e_T$$

$$\mathbf{y} e_T$$

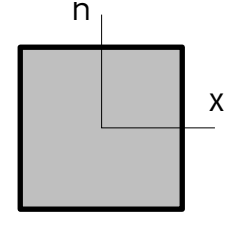
$$\mathbf{y} e_T$$

$$\mathbf{y} e_T$$

Paramétrisation de la modélisation en éléments finis (suite)

- Insertion de la notion d'élément père ou archétype
 - Traitement des intégrales surfaciques

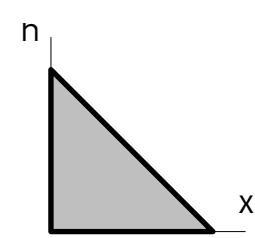
$$\int_{e_{\Omega}} (\cdot) \, \mathrm{d}x \, \mathrm{d}y = \int_{e_{\Omega}} (\cdot)^{e} \, \mathrm{d}\Omega \qquad \qquad \text{transformation } {}^{e}T \\ = \det({}^{e}\mathbf{J}) \\ = \int_{a_{\Omega}} (\cdot)^{e} \, \mathrm{d}\Omega = \int_{a_{\Omega}} (\cdot)^{e} \, \mathrm{d}\xi \, \mathrm{d}\eta$$



$$\int_{a_{\Omega}} \underline{\qquad} d\xi d\eta = \int_{-1}^{+1} \int_{-1}^{+1} \underline{\qquad} d\eta d\xi$$

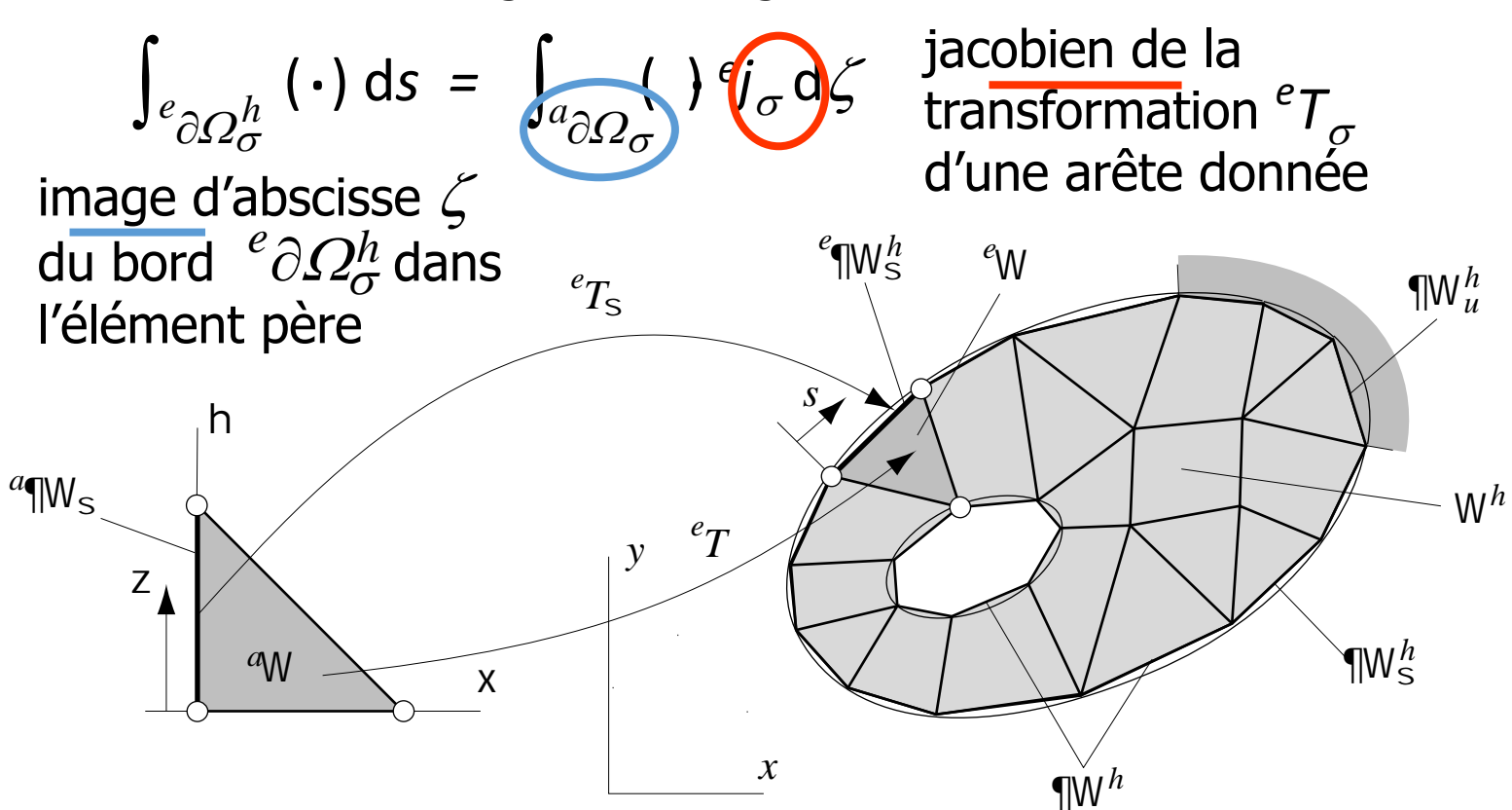
jacobien de la





$$\int_{a_{\Omega}} \underline{\qquad} \, \mathrm{d}\xi \mathrm{d}\eta = \underbrace{\int_{0}^{1} \int_{0}^{1-\xi} \underline{\qquad}}_{0} \mathrm{d}\eta \mathrm{d}\xi$$

Traitement des intégrales curvilignes



-110-

Traitement des intégrales curvilignes (suite): évaluation du jacobien e_i

jacobien
$${}^{e}j_{\sigma}$$

$$\int_{a_{\partial\Omega}\sigma} () j_{\sigma} ds = \int_{-1}^{+1} () |_{\xi=-1}^{e}j_{\sigma} d\eta$$

$$= \int_{-1}^{+1} () |_{\xi=-1}^{e}j_{\sigma} d\eta$$

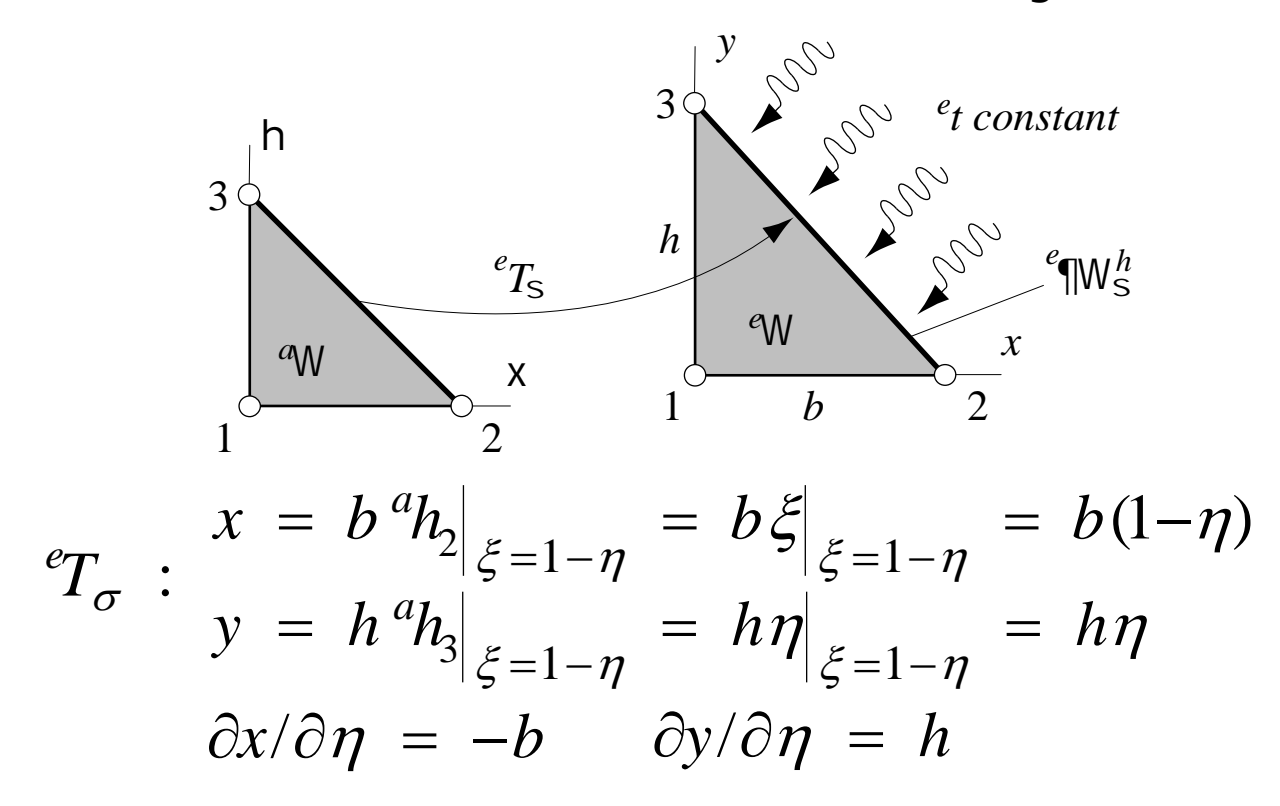
$${}^{e}T_{\sigma} \equiv {}^{e}T|_{\xi=-1} : s = s(\eta) \Rightarrow \underset{y=y(-1,\eta)}{x = x(-1,\eta)}$$

$$ds = \sqrt{dx^{2} + dy^{2}}$$

$$= \sqrt{[\partial x(-1,\eta)/\partial \eta]^{2} + [\partial y(-1,\eta)/\partial \eta]^{2}} d\eta = {}^{e}j_{\sigma}d\eta$$

-111-

 Traitement des intégrales curvilignes (suite): exemple de flux externe traversant la frontière d'un élément triangulaire



14/12/2023 -112-

Traitement des intégrales curvilignes (suite) : calcul des contributions élémentaires du flux externe donné en exemple

$$e_{j_{\sigma}} = \sqrt{(\partial x/\partial \eta)^{2} + (\partial y/\partial \eta)^{2}} = \sqrt{b^{2} + h^{2}}$$

$$e_{r_{i}} = \int_{e_{\partial \Omega_{\sigma}}} e_{h_{i}} e_{t} ds = \int_{0}^{1} a_{h_{i}} \Big|_{\xi=1-\eta} e_{t} e_{j_{\sigma}} d\eta$$

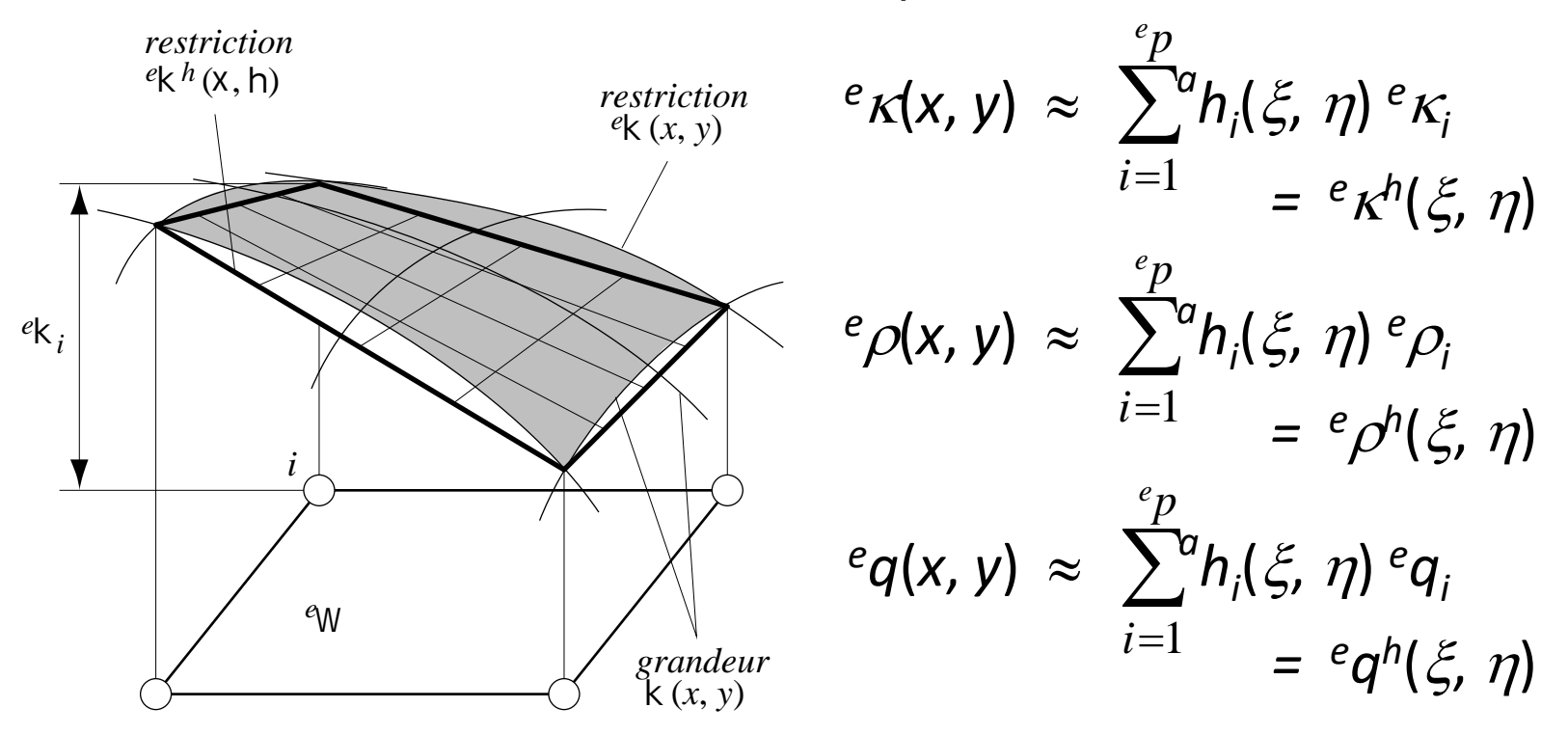


$$er_1 = \int_0^1 (1 - \xi - \eta) \Big|_{\xi = 1 - \eta} et \sqrt{b^2 + h^2} \, d\eta = 0$$

$$er_2 = \int_0^1 \xi \Big|_{\xi = 1 - \eta} et \sqrt{b^2 + h^2} \, d\eta = et \sqrt{b^2 + h^2} / 2$$
 Justification des résultats
$$er_3 = \int_0^1 \eta \Big|_{\xi = 1 - \eta} et \sqrt{b^2 + h^2} \, d\eta = et \sqrt{b^2 + h^2} / 2$$

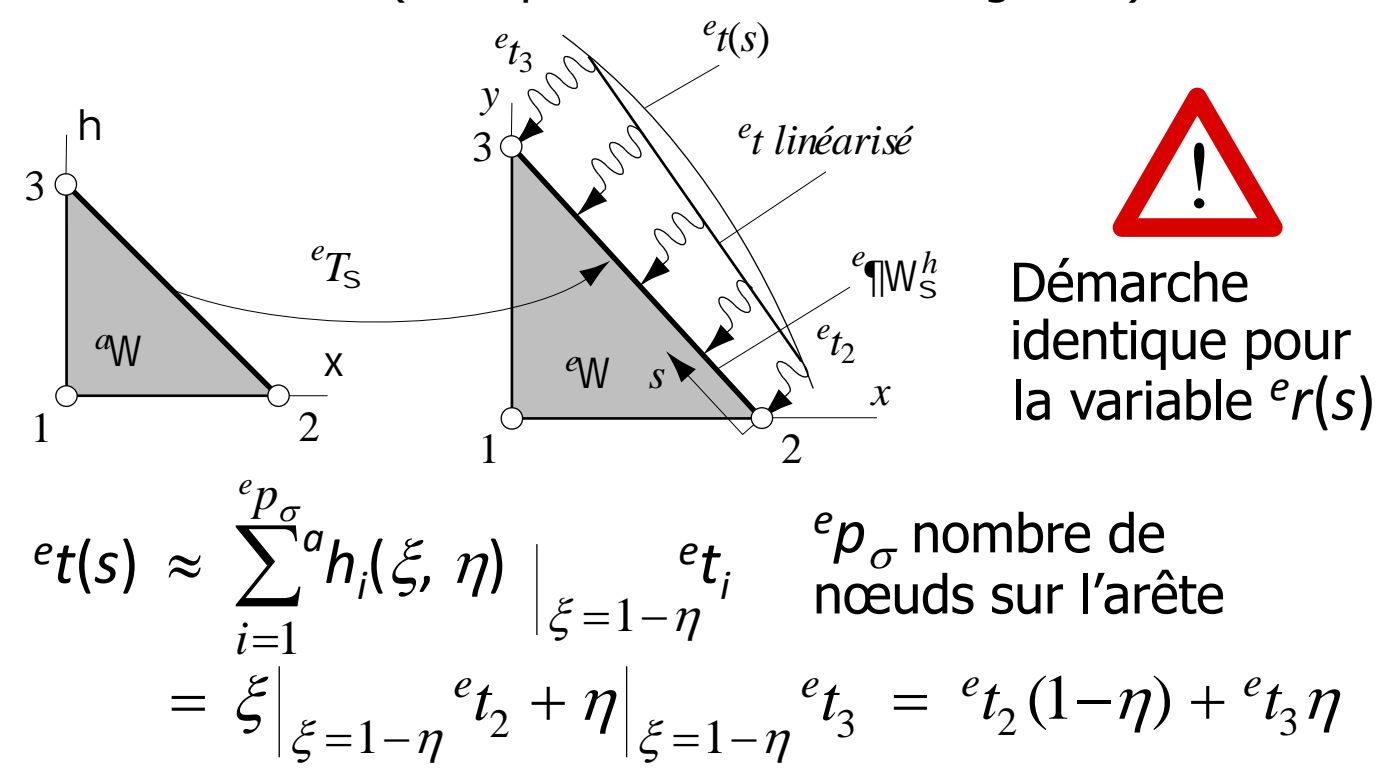
14/12/2023 -113-

- Paramétrisation des grandeurs physiques
 - Traitement des coefficients surfaciques



-114-

 Cas particulier : paramétrisation le long du site des conditions naturelles de bord (exemple d'un élément triangulaire)



-115-

- Intégration numérique
 - Quadrature de Gauss-Legendre

$$\int_{-1}^{1} \int_{-1}^{+1} \int_{-1}^{+1} (\cdot) d\xi d\eta \approx \sum_{i=1}^{r} \sum_{j=1}^{s} (\cdot) \Big|_{\xi = \xi_{i}, \eta = \eta_{j}} \omega_{i} \omega_{j}$$

$$\int_{0}^{1} \int_{0}^{1-\xi} (\cdot) d\xi d\eta \approx \sum_{i=1}^{r} (\cdot) \Big|_{\xi = \xi_{i}, \eta = \eta_{i}} \omega_{ij}$$

 ξ_k , η_k coordonnées du point d'intégration k ω_k coefficient de pondération du point k

tégration sur les éléments quadrangulaires non optimale

Règles unidimensionnelles appliquées aux éléments quadrangulaires

Abscisse ξ	Coefficient de pondération ω	Précision
0.00000 00000 00000	2.00000 00000 00000	ordre 1
± 0.57735 02691 89626	1.00000 00000 00000	ordre 3
0.00000 00000 00000 ± 0.77459 66692 41483	0.88888 88888 88889 0.55555 55555 55556	ordre 5
± 0.33998 10435 84856 ± 0.86113 63115 94053	0.65214 51548 62546 0.34785 48451 37454	ordre 7
0.00000 00000 00000 ± 0.53846 93101 05683 ± 0.90617 98459 38664	0.56888 88888 88889 0.47862 86704 99366 0.23692 68850 56189	ordre 9

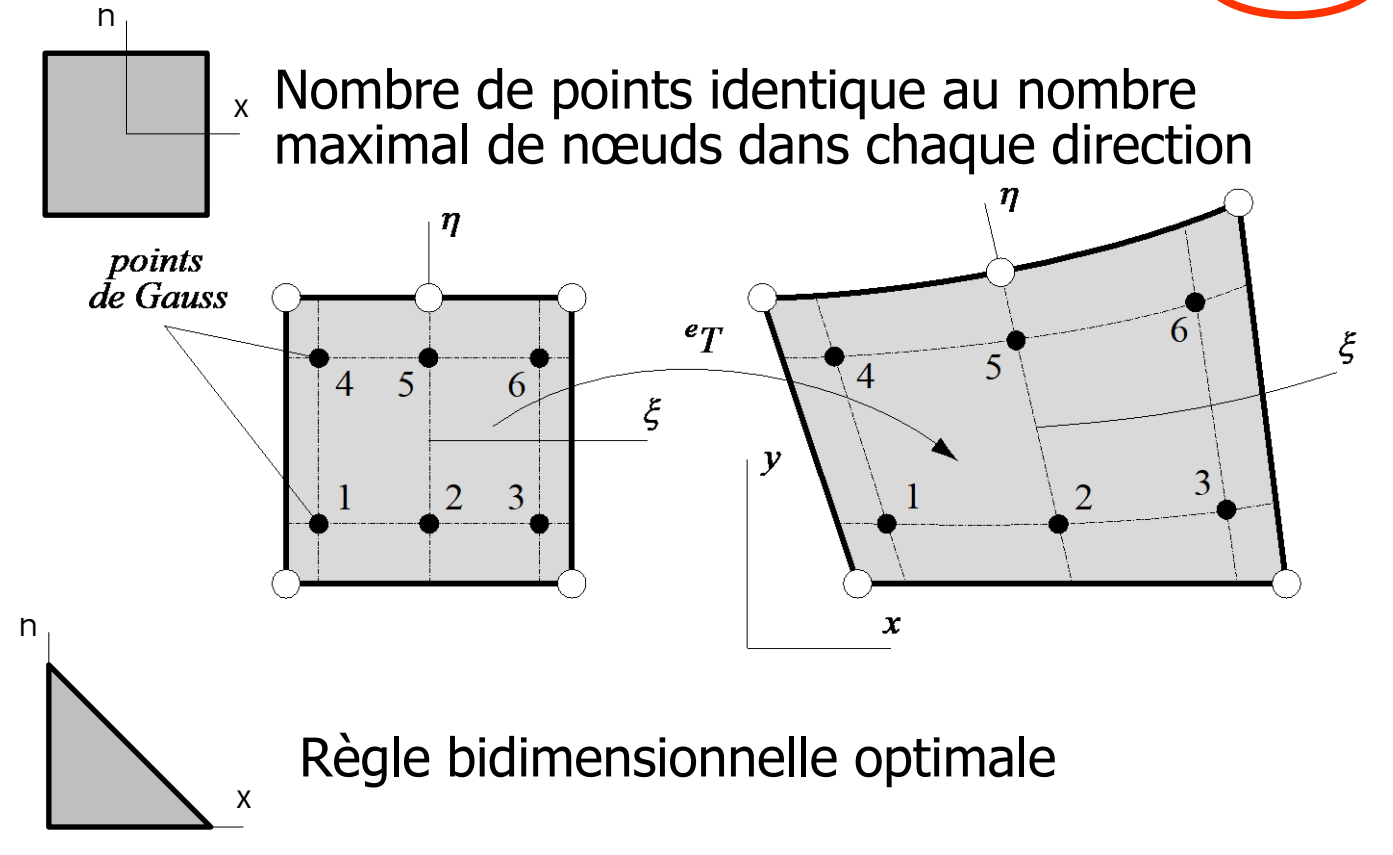
14/12/2023 -- 117-

Règles bidimensionnelles appliquées aux éléments triangulaires

Abscisse ξ	Abscisse η	Coefficient de pondération ω	Précision
0.33333 33333 33333	0.33333 33333 33333	0.50000 00000 00000	ordre 1
0.20000 00000 00000	0.20000 00000 00000	0.26041 66666 66667	ordre 3
0.60000 00000 00000	0.20000 00000 00000	0.26041 66666 66667	
0.20000 00000 00000	0.60000 00000 00000	0.26041 66666 66667	
0.33333 33333 33333	0.33333 33333 33333	- 0.28125 00000 00000	
0.10128 65073 23456	0.10128 65073 23456	0.06296 95902 72413	ordre 5
0.79742 69853 53087	0.10128 65073 23456	0.06296 95902 72413	
0.10128 65073 23456	0.79742 69853 53087	0.06296 95902 72413	
0.47014 20641 05115	0.05971 58717 89770	0.06619 70763 94253	
0.47014 20641 05115	0.47014 20641 05115	0.06619 70763 94253	
0.05971 58717 89770	0.47014 20641 05115	0.06619 70763 94253	
0.33333 33333 33333	0.33333 33333 33333	0.11250 00000 00000	

14/12/2023 -118-

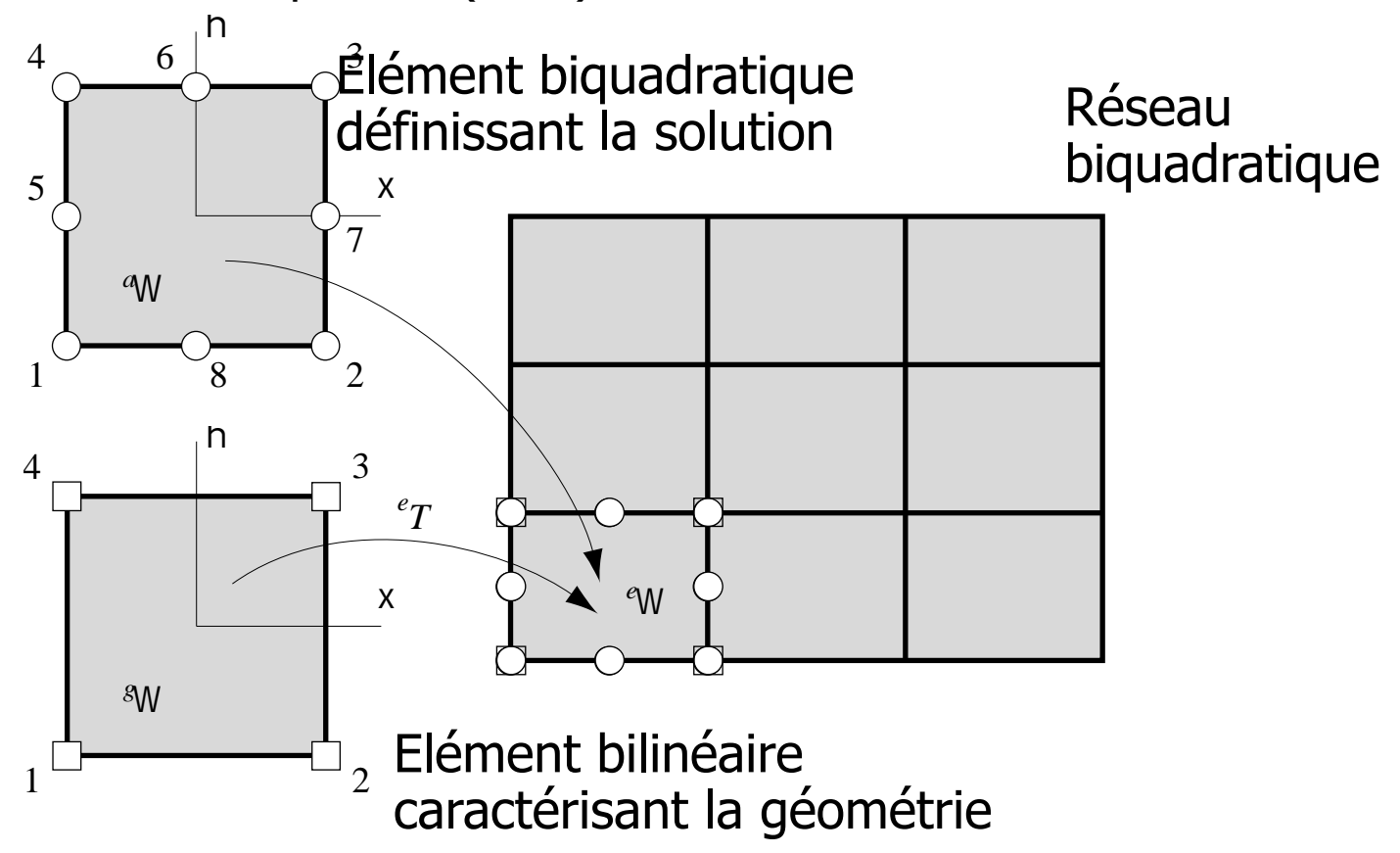
Choix du nombre de points de Gauss pour une intégration exacte



14/12/2023 -119-

Convergence d'un modèle d'éléments finis 2D

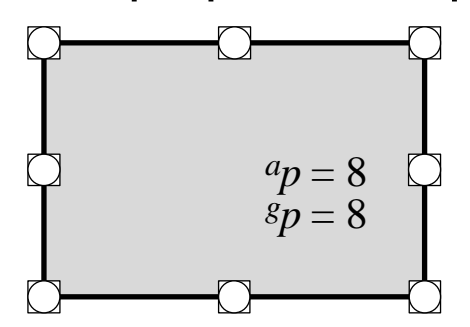
Critère de complétude (suite)

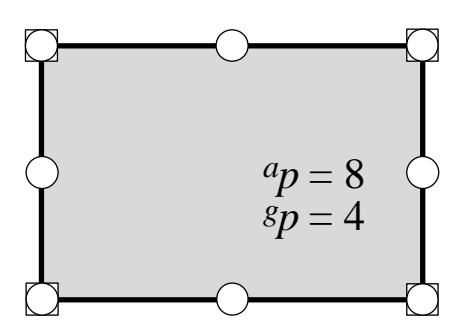


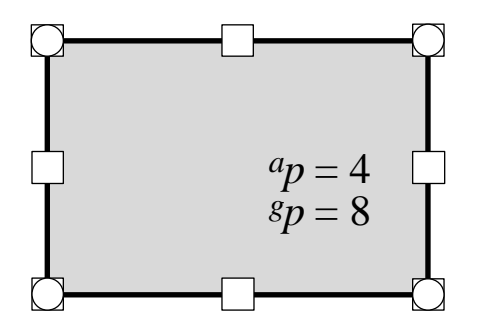
-121-

Convergence d'un modèle d'éléments finis 2D

 Notion d'éléments finis isoparamétrique, sous-paramétrique et superparamétrique







o point de spécification de la fonction cherchéeint de spécification des coordonnées

Élément isoparamétrique

Géométrie de même ordre que la solution

Élément sousparamétrique

Géométrie d'un ordre inférieur à celui de la solution

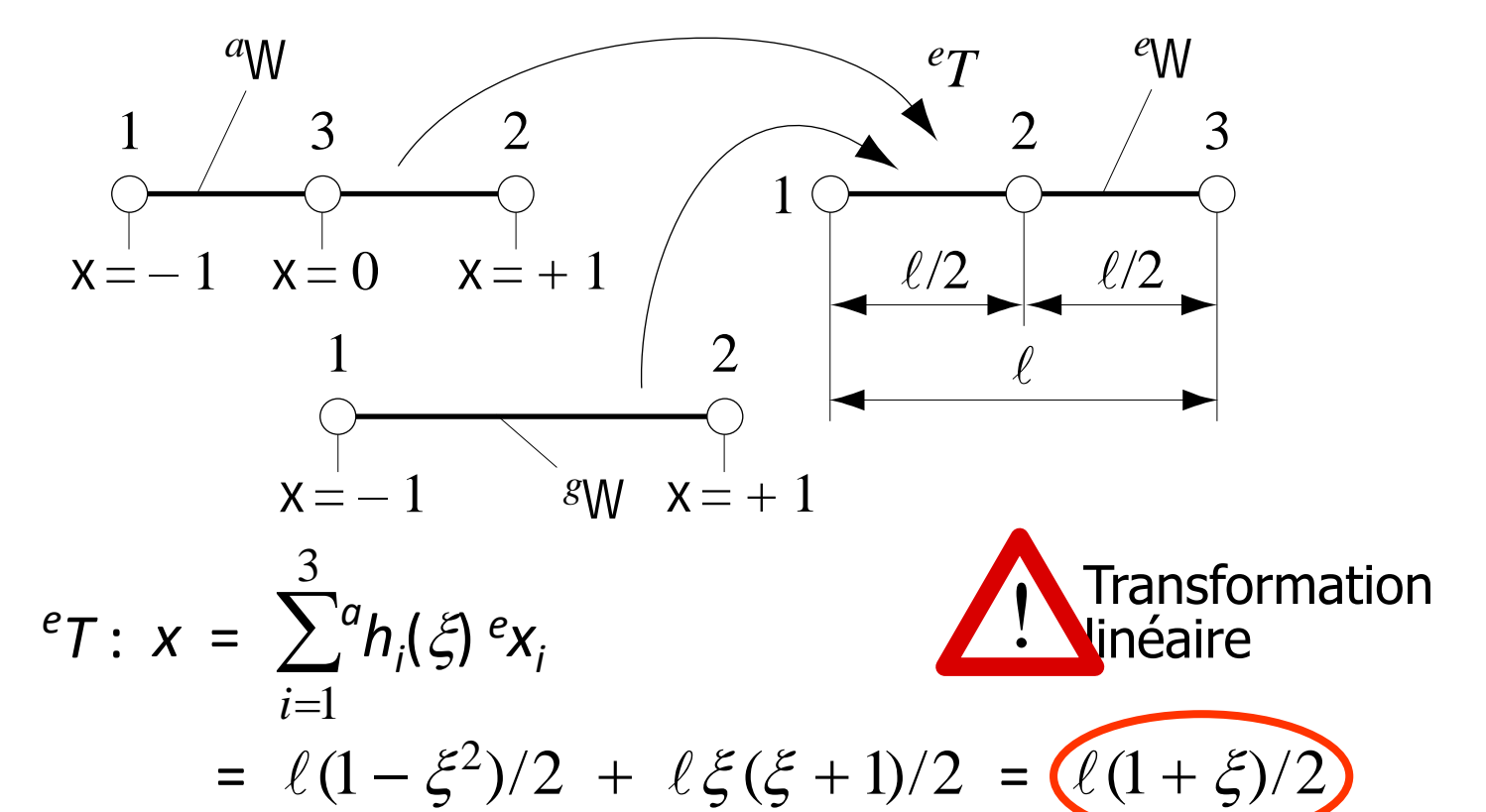
Élément superparamétrique

Géométrie d'un ordre supérieur à celui de la solution

14/12/2023 -122-

Convergence d'un modèle d'éléments finis 2D

Exemple d'un élément fini sous-paramétrique bien connu



-123-

• Estimation H^1 de l'écart entre la restriction eu et son interpolation nodale eu_I

$$\|eu - eu_I\|_{1, e_{\Omega}}^2 \le \|eT^{-1}\|_{1, e_{\Omega}}^2 \le \|eT^{-1}\|_{1, e_{\Omega}}^2$$

• Norme H^{k+1} de la restriction eu transformée par les coordonnées naturelles

$$\| a_{u} \|_{k+1, a_{\Omega}}^{2} \leq \| e_{T} \|_{k+1}^{2} \frac{1}{\min_{e_{\Omega}}(e_{j})} \| e_{u} \|_{k+1, e_{\Omega}}^{2}$$

Influence de la transformation le coordonnées

14/12/2023 -124-

 Estimation asymptotique locale de l'erreur pour un élément fini père

$$\|au - au_I\|_{1, a\Omega} \le \|aC_1\|_{k+1, a\Omega}$$
 ($^eh \to 0$)

^eh diamètre de l'élément fini

k degré de l'interpolation

 $^{a}C_{1}$ facteur de convergence

Restranscription de l'estimation asymptotique de l'erreur pour un lément fini régulier $(e \rightarrow a)$

14/12/2023 -125-

• Caractérisation de l'estimation H^1 de l'écart entre la restriction ^{e}u et son interpolation nodale $^{e}u_{I}$

$$\| eu - eu_I \|_{1, e_{\Omega}} \leq \| eT^{-1} \|_1 \left[\max_{e_{\Omega}} (ej) \right]^{1/2} \| au - au_I \|_{1, a_{\Omega}}$$

$$\leq \| eT^{-1} \|_1 \left[\max_{e_{\Omega}} (ej) \right]^{1/2} \| aC_1 \|_{1} \| au \|_{1, a_{\Omega}}$$

$$\leq \| eT^{-1} \|_1 \left[\max_{e_{\Omega}} (ej) \right]^{1/2} \| aC_1 \|_{1} \| au \|_{1, a_{\Omega}}$$

$$\leq \| eT^{-1} \|_1 \left[\max_{e_{\Omega}} (ej) \right]^{1/2} \| aC_1 \|_{1} \| au \|_{1, a_{\Omega}}$$

$$\leq \| eT^{-1} \|_1 \left[\max_{e_{\Omega}} (ej) \right]^{1/2} \| aC_1 \|_{1} \| au \|_{1, a_{\Omega}}$$

$$\leq \| eT^{-1} \|_1 \left[\max_{e_{\Omega}} (ej) \right]^{1/2} \| au \|_{1, a_{\Omega}}$$

$$\leq \| eT^{-1} \|_1 \left[\max_{e_{\Omega}} (ej) \right]^{1/2} \| au \|_{1, a_{\Omega}}$$

$$\leq \| eT^{-1} \|_1 \left[\max_{e_{\Omega}} (ej) \right]^{1/2} \| au \|_{1, a_{\Omega}}$$

$$\leq \| eT^{-1} \|_1 \left[\max_{e_{\Omega}} (ej) \right]^{1/2} \| au \|_{1, a_{\Omega}}$$

$$\leq \| eT^{-1} \|_1 \left[\max_{e_{\Omega}} (ej) \right]^{1/2} \| au \|_{1, a_{\Omega}}$$

$$\leq \| eT^{-1} \|_1 \left[\max_{e_{\Omega}} (ej) \right]^{1/2} \| au \|_{1, a_{\Omega}}$$

$$\leq \| eT^{-1} \|_1 \left[\max_{e_{\Omega}} (ej) \right]^{1/2} \| au \|_{1, a_{\Omega}}$$

$$\leq \| eT^{-1} \|_1 \left[\max_{e_{\Omega}} (ej) \right]^{1/2} \| au \|_{1, a_{\Omega}}$$

$$\leq \| eT^{-1} \|_1 \left[\max_{e_{\Omega}} (ej) \right]^{1/2} \| au \|_{1, a_{\Omega}}$$

$$\leq \| eT^{-1} \|_1 \left[\max_{e_{\Omega}} (ej) \right]^{1/2} \| au \|_{1, a_{\Omega}}$$

Identification terme à terme

Forme standard de l'estimation H^1 de l'écart entre eu et eu_I

$$\|eu - eu_I\|_{1, e_{\Omega}} \le (eC_1)^{e} h^{k} \|eu\|_{k+1, e_{\Omega}}$$
 $(eh \to 0)$

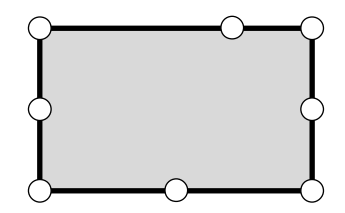
Lien entre les facteurs de convergence

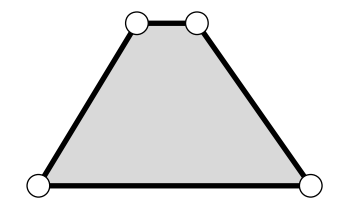
$${}^{e}C_{1} \leq {}^{a}C_{1} \left(\frac{\max(^{e}j)}{\min(^{e}j)}\right)^{1/2} \|{}^{e}T\|_{k+1} \|{}^{e}T^{-1}\|_{1}$$

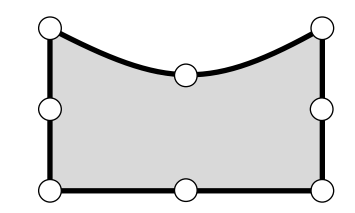
$$\text{Dégradation de la précision si } \left(\frac{\max(^{e}j)}{\min(^{e}j)}\right)_{e_{\Omega}} \text{croît}$$

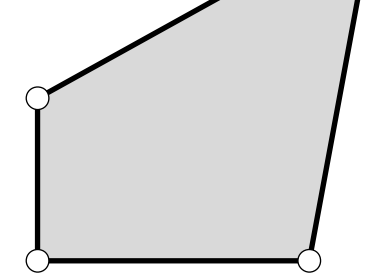
⇒ Forme de l'élément aussi régulière que possible

 Exemples d'éléments entraînant une dégradation de la précision









• Estimation H^1 de l'erreur globale e^h

$$\|e^h\|_{1,\Omega} = \|u - u^h\|_{1,\Omega} \le C_1 h^k \qquad (h \to 0)$$

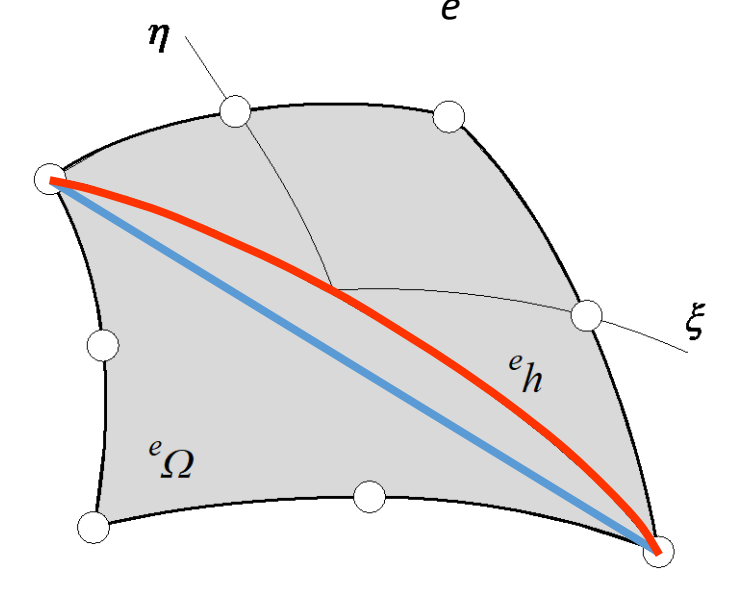
h longueur caractéristique du réseau ($h = \max_{a} {}^{e}h$)

k degré de l'interpolation

 C_1 facteur de convergence



Longueur ^eh mesurée selon le système local de coordonnées



14/12/2023 -128-